

**UNIVERSIDAD NACIONAL AUTONOMA DE MEXICO**  
**UNIVERSIDAD MOTOLINIA - FACULTAD DE QUIMICA**

**"Métodos Analíticos para ciertas Saponinas  
y Sapogeninas haciendo uso de la  
Cromatografía en papel"**

**TESIS**

**Que para obtener el título de  
QUIMICO FARMACEUTICO BIOLOGO**

**presenta**

**VICTORIA TRONCOSO SANTIBANEZ**

**MEXICO, D. F. 1953**





**UNAM – Dirección General de Bibliotecas**

**Tesis Digitales**  
**Restricciones de uso**

**DERECHOS RESERVADOS ©**  
**PROHIBIDA SU REPRODUCCIÓN TOTAL O PARCIAL**

Todo el material contenido en esta tesis está protegido por la Ley Federal del Derecho de Autor (LFDA) de los Estados Unidos Mexicanos (Méjico).

El uso de imágenes, fragmentos de videos, y demás material que sea objeto de protección de los derechos de autor, será exclusivamente para fines educativos e informativos y deberá citar la fuente donde la obtuvo mencionando el autor o autores. Cualquier uso distinto como el lucro, reproducción, edición o modificación, será perseguido y sancionado por el respectivo titular de los Derechos de Autor.

*A mis padres,  
Con todo cariño y gratitud.*

*A mi hermano.*

*Agradezco a los Laboratorios  
Syntex, S. A., las facilidades  
que me proporcionaron para la  
realización de este trabajo.*

*Al Dr. Alejandro Zaffaroni,  
por la dirección de esta Tesis.*

*A la Rev. madre Dolores Echevarría,  
Directora de la Universidad Motolinia*

*a Dr. José Herrán.*

*A mis maestros.*

## CAPITULOS.

### Capítulo I

Historia e importancia de Saponinas y Sapogeninas.

### Capítulo II

Parte experimental.

- a) Saponinas.  
Saponina de la Diogenina.
- b) Sapogeninas.  
1) Ecdogenina.  
2) Tigenina

### Capítulo III

Conclusiones.

## BIBLIOGRAFIA.

**C A P I T U L O . I**

**HISTORIA E IMPORTANCIA DE SAPONINAS Y SAPOGENINAS**

El término saponina (del latín saponis-jabón) se empleó por primera vez en 1811 por Buchlos (1).

Se designa con este nombre a las sustancias amorfas que al agitarse, en soluciones acuosas, dan abundante espuma.

Las saponinas contienen: C, H, O, raras veces, N, S, P, se encuentran ampliamente distribuidas en plantas superiores y en cerca de 120 familias: Apocynaceae, Dioscoreaceae, Liliaceae, Scrophulariaceae, Euphorbiaceae, Amarilidaceae y otras (2).

Anteriormente se usaban estas saponinas para atarantar a los peces en los ríos y así facilitar su pesca, o también como detergentes.

Algunas saponinas tienen acción hemolítica mientras que otras están desprovistas de ella.

Esta propiedad es importante y se utiliza para su clasificación. Las saponinas son glucósidos que al hidrolizarse, con ácidos sáblicos, producen una sustancia denominada aglucon y restos de monosacáridos como: rhamnosa, -glucosa, arabinosa, galactosa etc.

Existen diversos tipos de aglucon; tales como triterpenos y esteroides. En el grupo de las saponinas esteroideas tenemos fundamentalmente dos tipos de aglucones: los sapogeninas y los aglucones cardíacos.

Durante muchos años se creyó que solamente los aglucones de los glucósidos cardíacos tenían el níquel del ciclopentanofenantreno pero en los últimos años se ha comprobado que las clásicas saponinas de la sarsaparrilla también lo poseen (3). Con esta base se extendieron estos conocimientos a otras plantas del grupo.

La única diferencia entre las saponinas obtenidas de plantas de actividad cardíaca, es la de poseer oxihidrilos terciarios.

Las sapogeninas se encuentran distribuidas en todas las partes del vegetal, su contenido varía de una especie a otra. Aparentemente existe una relación biogeográfica entre la producción de sapogeninas de una planta con su edad.

Como conclusión de sus extensos estudios en diversas especies Marker ha emitido la hipótesis de que hay una relación entre el número de átomos de oxígeno presente en las sapogeninas y la edad de la planta de donde proviene; a medida que la planta envejece disminuiría el número de átomos de oxígeno y se saturaría eventualmente su doble enlace.

La importancia que en la actualidad ha alcanzado el estudio de las sapogeninas esteroidales, es ser la materia prima inicial en la síntesis de numerosos esteroides, de gran actividad fisiológica tales como: las hormonas sexuales, masculinas y femeninas, las hormonas corticales, etc.

Dedicaremos una parte de nuestra investigación a una sapogenina llamada -hecogenina.

La hecogenina proviene de la hidrólisis de extractos de plantas del género Agave. Fue descubierta en la *Mitchella Texensis*, en muy pequeña cantidad.

Es la única sapogenina que posee un grupo cetónico en el carbono 12, y por esta propiedad ha sido utilizada para la síntesis parcial de una hormona-cortical denominada el compuesto E de Kendall o cortisolina.

La importancia médica que tiene esta hormona es su aplicación en terapia reumatoide, enfermedad de Addison y en otras muchas enfermedades. (4)

La cortisolina sintética, fue obtenida por primera vez en los Estados Unidos por Sarett (1946) a partir del ácido desoxicólico. Dicha fuente era un abasto insuficiente.

En México los Laboratorios Syntax, S. A. fueron los primeros en elaborar métodos para la conversión de hecogenina en cortisolina (5, 6, 7).

El ácido desoxicólico con oxígeno en el carbono 12 era la materia prima-

inicial para obtener la corticoma. La hecogenina que también posee oxígeno en el carbono 12 podría sustituir al ácido desoxicólico, ya que por provenir de fuentes vegetales, tales como el agave, se podría obtener en cantidades muy grandes.

Este trabajo tiene como principal objetivo el desarrollo de micrométodos para la determinación cuantitativa de saponinas (sapogenina de diosgenina) y sapogeninas (hecogenina y tigogenina) en diferentes plantas.

El interés en desarrollar estos métodos micrometíticos radica en :

1) La posibilidad de estudiar nuevas plantas determinando su contenido en saponinas y sapogeninas.

2) El análisis cuantitativo de las saponinas elimina la necesidad de la hidrólisis ácida necesaria en el cuanteo de la sapogenina que es perjudicial, ya que se destruyen algunas sapogeninas en este paso (deshidratación de la diosgenina) permitiendo además completar el análisis en tiempos más cortos.

3) Permitir el estudio comparado del contenido de ambas sustancias: saponinas y sapogeninas en las plantas de interés.

Por el hecho de ser micrométodos, requieren solamente cantidades muy pequeñas de material botánico, permitiendo por lo tanto el estudio del contenido de estas sustancias en plantas jóvenes, aún de pesos muy reducidos, y poder seguir de esta forma el contenido de saponina en relación con la edad de la planta.

**C A P I T U L O I**

**PARTES EXPERIMENTAL.**

**I/a Parte Saponina da Dicogenina.**

## II

En la primera parte de este capítulo se tratan los siguientes puntos.

1) Obtención y purificación de la saponina de la dioxygenina.

2) Propiedades.

a) Constantes físicas.

b) Constantes químicas.

c) Curva de sulfúrico.

d) Hidrólisis.

3) Comparación con saponinas de dioxygenina obtenidas por otros inventadores.

4) Desarrollo del micrométodo analítico.

a) Separación: cromatografía en papel.

b) Cuantos, mediante formación de un cromógeno al reaccionar la saponina con el ácido sulfúrico.

I) La obtención de las saponinas en estado puro es una operación extremadamente difícil por el hecho de que estas sustancias son adsorbentes muy energéticos y retienen las sustancias más variadas.

El método utilizado para la extracción de la saponina de la dioxygenina fué el siguiente:

1º Tratamiento con alcohol etílico (95%) a ebullición.

2º Filtración en caliente.

3º Concentración del filtrado y adición de éter sulfúrico para la precipitación de la saponina.

Debe tenerse en cuenta la parte del vegetal que se va a extraer: si se obtiene de raíces o partes secas, se pulveriza y se extrae según el método anterior. Si la saponina proviene de partes jugosas se revuelve el jugo y se agregá cal apagada, se agita, se deja reposar una noche, después se filtra y el precipitado se seca, se pulveriza, y se extrae la saponina por el método

describo antes.

1) Extracción de la saponina de raíces de dioscorea.

Cien gramos de raíz seca pulverizada se extienden 7 veces con etanol a refluo, usando 600 ml. la primera vez y 300ml. los seis siguientes. Cada extracción dura 1 hora.

El volumen total de etanol empleado es de 2 a 3 litros. Todos los filtrados se reúnen y finalmente se concentra a sequedad, obteniéndose un extracto seco 16 g.

Purificación de la saponina.-

Cinco gramos del extracto que contienen la saponina, obtenida por el método anterior, se disuelven en 100ml. de metanol, al que se le agregan 500 mg. de alúmina sin lavar y 200 mg. de carbón activo, se calienta durante 10 minutos, se deja enfriar y finalmente se filtra.

A continuación se efectúa la concentración del líquido a un volumen de 10 ml., enseguida se precipita con 500 ml. de ether y se filtra al vacío, obteniéndose después de haberse secado el precipitado, una sustancia con las siguientes propiedades:

Peso del precipitado = 4.135 g.

2) Propiedades:

Color: blanco

Soluble en metanol, poco soluble en cloroformo y en agua, insoluble en ether.

P.F. = 205° - 207° C.

$(\alpha)_D^2 = -84.23$  en metanol

Para la identificación de esta saponina se le hizo su espectro de absorción con ácido sulfídrico (R), en el Espectrofotómetro de Beckman D. U., haciendo las lecturas en el ultravioleta desde 220-350 $\mu\text{m}$  y en el visible de 350 -

600 $\mu$  v. Fig. I.

Por hidrólisis ácida de la saponina se obtiene 33.36 % en peso de diosgenina. El espectro de absorción de esta sapogenina, Fig. II, tiene máximos diferentes a la saponina.

De ambas curvas se pueden calcular los datos de Log. E, los cuales nos dan la diferencia clara que existe en dichas curvas. Tales datos se encuentran el cuadro #I.

C U A D R O #I

SAPONINA		SAPOGENINA	
$\lambda_{\text{max.}}, \text{y}$ $\lambda_{\text{min.}}$	Log. E	$\lambda_{\text{max.}}, \text{y}$ $\lambda_{\text{min.}}$	Log. E
(min) 215	1.91	( min ) 225	3.56
(max) 270	4.46	( max ) 250	3.57
(min) 300	4.25	( min ) 260	3.52
(max) 325	4.59	( max ) 225	3.72
(min) 370	3.79	( min ) 365	3.66
(max) 412	4.21	( max ) 412	4.15

El P. M. de la saponina se calcula de la siguiente manera: 100 g. de saponina dan 31.3 g. de diosgenina. Un mol de diosgenina será dada por 1020 de saponina.

El E y el Log. E se calcula por las fórmulas abajo descritas.

Densidad Óptica X peso molecular de la sustancia

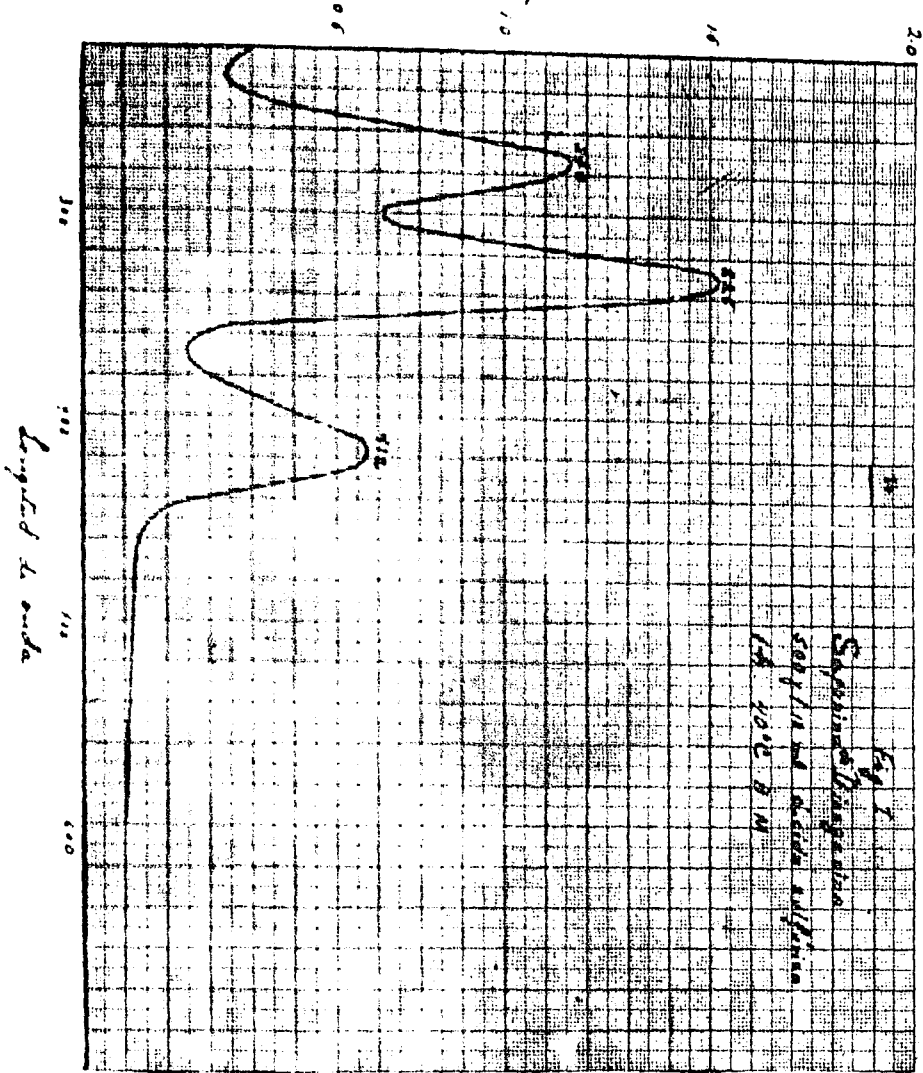
E = -----

Concentración de la sustancia X Longitud de la celdilla

E = Extinción molecular.

Extinción molecular es la absorción que tendrá una mol g. del esteroide en un litro de solvente.

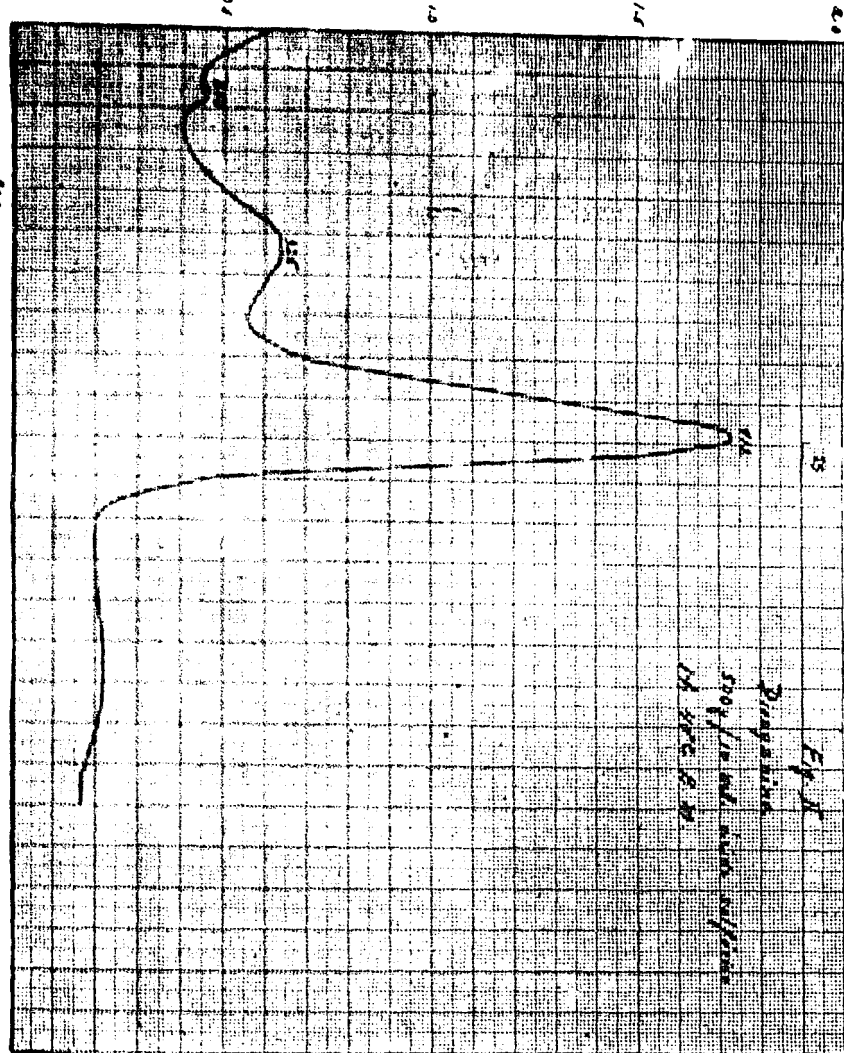
Demandada Optica



Ej. 2  
Supervisión  
sobrepeso y peso  
en 1000 kg

one & produce

Demand & Optimal



Point  
Optimal production  
at price  $P_2$

Point  
 $P_1$

3) Trabajos anteriores de Marker, Tsukamoto, Russell (9, 10, II, 12, 17), describen numerosas saponinas derivadas de la diosgenina, a las que dieron nombres especiales y cuyas constantes se encuentran en el cuadro # 2.

Estos estudios han servido para hacer una comparación con la saponina de diosgenina obtenida por nosotros.

En este trabajo se encontró que, por hidrólisis, la saponina díó diosgenina. No se ha dado una desglucosidación a esta saponina; así mismo no se ha demostrado el número de azúcares que la acompañan.

CUADRO # 2

Saponina	Obligada de	T.P.	(-) <sub>D</sub>	Hidrólisis Saponina-Azúcares
Trillium	Trillium erectum	271°C.	-103	Diosgenina - Glucosa
Trilliarina	Trillium Erectum	200°C.		Diosgenina - 2 Glucosa
Dioscina	Dioscorea Colocasia Watkiss	244°C.	-95	Diosgenina - Rhamnosa
Saponina de Diosgenina	Dioscorea mexicana	204-207°C.	-95	Diosgenina - Glucosa Arabinosa Rhamnosa

Estos azúcares fueron identificados en el Departamento de Investigaciones Bioquímicas de los Laboratorios Syntax, S.A.; dicho trabajo no se ha publicado.

4) Micrométodo analítico para la identificación de la saponina de diosgenina.

Se llevó a cabo este método para obtener de una manera rápida la identificación de la saponina en extractos de plantas.

Para el desarrollo de esta técnica se emplearon los procedimientos:

1) Cromatografía en papel.

2) Cuanteo por el espectro de absorción del cromógeno obtenido por reacción de la saponina con el ácido sulfúrico concentrado.

La cromatografía en papel ha alcanzado en los últimos años gran interés como microtécnica que permite la identificación de una gran variedad de sustancias.

Conrad, Gordon y Martín fueron quienes emplearon esta técnica para la separación de aminoácidos y en general sustancias solubles en agua. Actualmente se ha extendido este método para todos los campos de la Química Orgánica e Enzimática.

Estudios iniciados en la Universidad de Rochester, en Nueva York, por el Dr. Alejandro Zaffaroni y colaboradores (14, 15), culminaron en el desarrollo de métodos cromatográficos para sustancias insolubles en agua.

Para esta técnica se emplean sistemas de solventes orgánicos inmiscibles entre sí, formados por dos fases: Fase estacionaria, constituida por formamida - metanol con la cual se impregnan los cromatogramas. Fase móvil que es el sistema de solventes no polares, hexano, benceno, acetato de etilo, cloroformo, naturados con formamida.

Para su desarrollo se utilizan los siguientes materiales:

1) Saponina.

2) Solventes: hexano, benceno, acetato de etilo, cloroformo, formamida c.p., metanol absoluto.

3) Reactivos: ácido sulfúrico concentrado.

4) Papel filtro Whatman N° I.

5) Cámaras de cromatografía, de las que existen dos tipos, para cromatografía ascendente y para cromatografía descendente. Ambas cámaras tienen el mismo fundamento.

Las primeras se utilizan para métodos de control; consisten en frascos de 12 cm. de diámetro por 21 cm. de altura.

Las cámaras descendentes son cilindros Pyrex de 10 cm. de diámetro por 45 cm. de altura, cubiertas con tapas de vidrio emerillado impregnados con una pasta de almidón glicerinizado para facilitar un cierre perfecto.

En el interior tiene un soporte de base trípode y en la parte superior se adapta una placa de metal, en la cual se coloca una charola que sirve como recipiente del solvente.

Las cámaras se forran con papel filtro y el fondo se agrega un exceso suficiente de solvente asegurando así que la atmósfera se halle saturada con el solvente volátil respectivo.

Antes cámaras deben de estar a una temperatura de 20-25°C. y antes de utilizarse deben de dejarse reposar 3 ó 4 horas para saturación completa de las mismas.

Los chromatogramas que se emplean son de dos tamaños: para las cámaras ascendentes son de 15 cm. por 20cm. con una línea de aplicación colocada 2.5 cm. de altura del borde inferior. Para las cámaras descendentes son de 17 cm. por 41 cm. con línea de aplicación de 11 cm., el ancho del papel se puede variar, de acuerdo con la cantidad de muestra por analizar.

#### TECNICA.

La muestra por identificar es colocada en la línea de aplicación de un chromatograma previamente impregnado con la fase más polar.

Dicha aplicación se hace con pipeta de punta capilar, tipo Pasteur, y-

explicando mezcla cloroformo y metanol en partes iguales para disolver la muestra que va a ser analizada. Debe procurarse que la muestra no alcance más de 0,5 cm. de ancho para un desarrollo perfecto del cromatograma.

Según el cromatograma en que se aplique la sustancia se introducirá en la cámara correspondiente.

Los cromatogramas ascendentes antes de introducirlos en la cámara correspondiente se engrapen por su lado más angosto procurando que los bordes no estorben.

Los cromatogramas descendentes se colocan sobre una lámina de vidrio que actúa como soporte del papel y de esta forma se introducen en la charola con el solvente dentro de la cámara cromatográfica. El cromatograma se deja desarrollar el tiempo necesario para que las sustancias que se analizan hayan avanzado, una distancia apreciable. Al cabo del cual se sacan y se elimina el solvente fuente a un ventilador de aire caliente durante 2 ó 3 horas; una vez seco se cortan tiras de 0,5 cm. de ancho de cada lado; para así determinar la posición de la sustancia en el cromatograma por medio de reactivos, a continuación se corta en pedazos la zona en la cual se localiza la sustancia y se lave finalmente con metanol durante 12 horas; obteniéndose así el compuesto bastante puro.

La cromatografía en papel de la saponina se estudió tanto en el sistema de cromatografía ascendente como en el de cromatografía descendente, siguiendo la técnica descrita en párrafos anteriores.

Los resultados obtenidos con la saponina purificada se mencionan en el cuadro # 2 y # 3.

## CUADRO # 2.

Cromatografía de la enaponina en el sistema ascendente.

Sistemas de solventes saturados con formanida.	Posición de las manchas en el cromato - grama expresada en cm.	Reacción con el ácido sulfúrico concentrado.
Hexano.	0.0 - 0.5	Amarillo café intenso.
Hexano Benceno. (50 : 50)	0.0 - 0.5	Amarillo café intenso.
Benceno	0.0 - 0.5	Amarillo café intenso.
Benceno 40% Acetato de Etilo 60%	1.8 - 3.0 7.3 - 8.8	Amarillo café + 3 Amarillo café + 7

La cantidad aplicada en cada chromatograma fue 2 - 3 mg. y el tiempo para su desarrollo una hora.

## CUADRO # 3.

Cromatografía de la enaponina en el sistema descendente.

Sistemas de solventes saturados con formanida.	Posición de las manchas en el cromato - grama expresada en cm.	Reacción con el ácido sulfúrico concentrado.
Hexano.	0.0 - 0.4	Amarillo café intenso.
Hexano Benceno. (50 : 50)	0.0 - 0.4	Amarillo café intenso.
Benceno.	0.0 - 0.5	Amarillo café intenso.
Cloroformo.	0.0 - 0.5	Amarillo café intenso.
Benceno 40% Acetato de Etilo 60%	5.1 - 7.7 8.5 - 16.0	Amarillo café + 3 Amarillo café + 7

Se chromatografiaron muestras de 2 - 3 mg. en 10 cm. de ancho.

El tiempo de desarrollo fue de una hora no moviéndose la sustancia de la línea de aplicación. Solamente el sistema benceno - acetato de etilo saturado-

con formamida díó el mejor resultado en 12 horas.

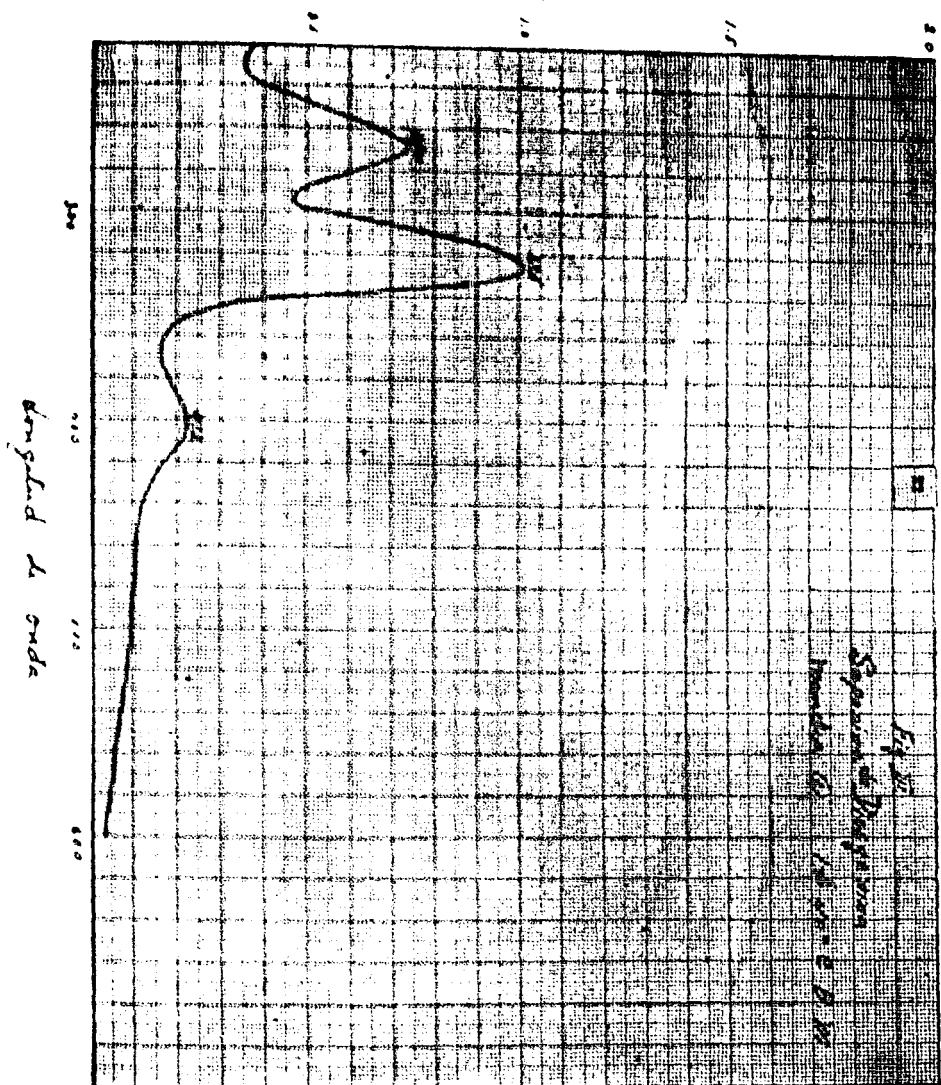
La localización de la saponina en el cromatograma se hizo con el ácido sulfúrico para lo cual se cortaron tiras de 0.5 cm. a lo largo del cromatograma. Previamente en una charola de vidrio se colocó ácido sulfúrico con una pipeta, procurando formar líneas no muy anchas, sobre estas líneas se colocan las tiras, se deja reaccionar un minuto y observando la charola por su parte inferior se delimitan las manchas anotando finalmente la coloración de la mancha y en intensidad con lo que respecta a esto último es muy arbitraria la intensidad en cada caso.

Para una reacción colorida apenas perceptible se díó una intensidad 1 y a medida que la concentración de la sustancia aumenta las intensidades serán +1, +2, +3, +4, +5, +6, & intenso.

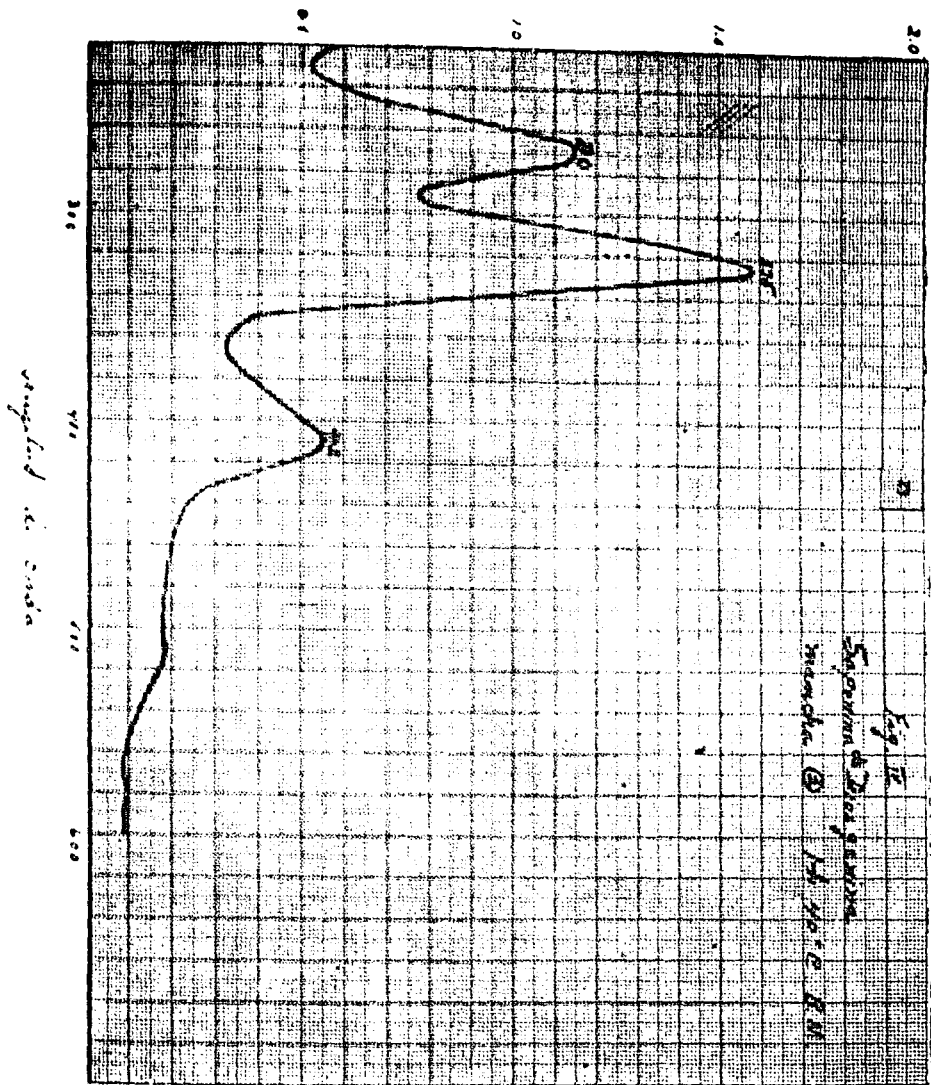
En la cromatografía se encontraron dos sustancias que al elutriar por separado y haciendo lo a cada una en curva de sulfúrico se obtuvieron curvas iguales, indicación de sustancias que posiblemente difieren en sus artificios, - Fig. III y Fig. IV.

Para la cromatografía de extractos de plantas que contienen saponina -- de Alocasia se procedió primero a eliminar los pigmentos, ceras y otras impurezas que se extiernen junto con la saponina, dicha eliminación se logró con un lavado del cromatograma durante una hora en cloroformo; teniendo en cuenta que la saponina no se disuelve en cloroformo debido a su gran polaridad. Una vez limpio el cromatograma se evaporó el cloroformo frente a un ventilador, finalmente se colocó el cromatograma en la cámara benzeno - acetato de etilo para su desarrollo.

Densidad Optima



Demandada Optica



V 2) La determinación cuantitativa de la seponina se efectuó utilizando - su propiedad de formar un complejo con el ácido sulfúrico concentrado que presenta una máxima intensa de absorción a 325 $\mu\text{m}$ .

Se pesaron 25 mg. de la seponina y se aforaron a 25 ml. con metanol (sol A) de esta solución se tomaron 5 ml., y se diluyeron a 50 ml. con el mismo solvente (sol B). De ambas matrices se tomaron las siguientes aliquotas.

1)	0.5 ml.	(sol.B)	corresponden	50 g
2)	1.0 ml.	(sol.B)	*	100 g
3)	2.0 ml.	(sol.B)	*	200 g
4)	3.0 ml.	(sol.B)	*	300 g
5)	4.0 ml.	(sol.B)	*	400 g
6)	0.5 ml.	(sol.A)	*	500 g

Una vez que se tomaron las cantidades antes mencionadas. Se procedió a evaporar a sequedad cada muestra en matrices aforados de 10 ml. y finalmente se aforó con ácido sulfúrico concentrado.

Se colocaron las matrices una hora 40°C. D.H. y después se enfriaron - con agua corriente. Inmediatamente se hicieron las lecturas a 325 $\mu\text{m}$  en el Espectrofotómetro de Beckman D. C.

Concentración de la  
seponina disuelta  
en 10 ml. de Ácido  
sulfúrico concentrado.

Densidad Óptica  
lecturas a 325 $\mu\text{m}$ .

50 g	0.185
100 g	0.370
200 g	0.725
300 g	1.090
400 g	1.445
500 g	1.800

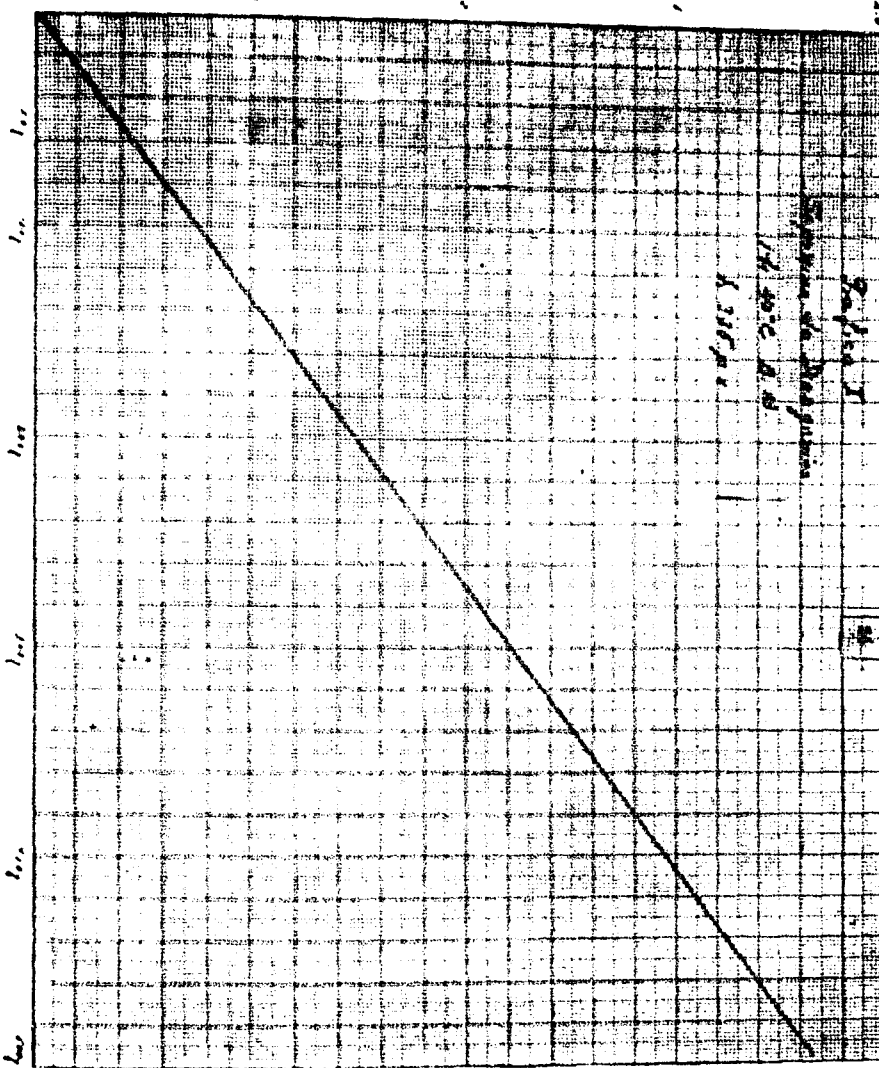
En la gráfica I se indican los resultados obtenidos. Colocando en la li-

sma de las abscisas la concentración en  $\mu$  y en la línea de las ordenadas las lecturas que se obtuvieron en el Espectrofotómetro de Beckman D. U. en  $725 \text{ m}\mu$ .

De esta forma se demostró que el método usado es aplicable para la determinación cuantitativa de la amoniaca ya que la relación entre concentración e intensidad del color producido obedece a la ley de Beer, como lo indica la línea recta obtenida en la gráfica 1.

Demand Optima

for optimization



**2a. parte experimental**

**Suspensiones.**

Esta segunda parte experimental está dedicado al estudio de las sapogeninas: hecogenina y tigogenina.

Dichas sustancias se encuentran generalmente asociadas en diferentes plantas del género *Ajwain*. El interés principal fue, el de desarrollar micro-métodos analíticos que nos permitan la identificación de la hecogenina en presencia de la tigogenina. Los siguientes métodos fueron estudiados:

I.- Reactivo Girard T.

II.- Cromatografía en papel.

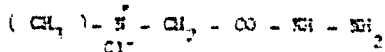
a) forma libre.

b) como acetato.

III.- Formación de los cromógenos obtenidos al reaccionar las sapogeninas con el ácido sulfúrico concentrado.

I.-

El reactivo de Girard T, descrito por primera vez en 1936, (16, 17) posee la siguiente estructura química.



Por su función hidraza posee la propiedad de combinarse con compuestos que posean funciones carbonilo. Las hidrazonas resultan solubles en el agua por el agrupamiento del catión amonio presente en el reactivo.

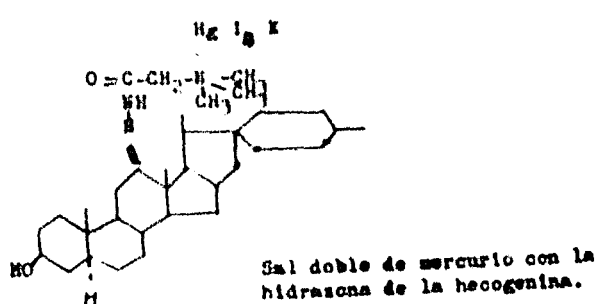
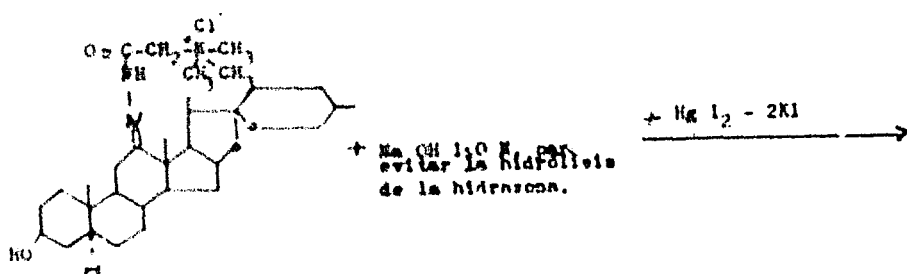
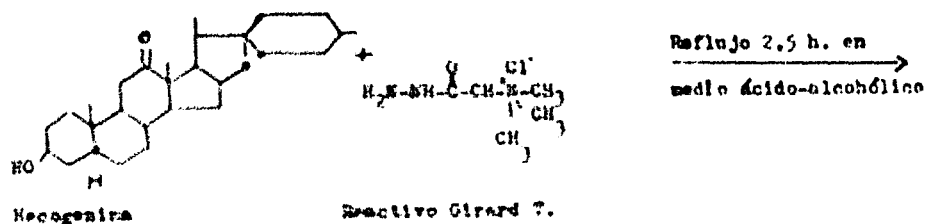
Cetonas o aldehídos de alto peso molecular, tales como los derivados de esteroides, insolubles en el agua, dan con el reactivo Girard T, hidrazonas solubles en el agua.

Este reactivo ha demostrado ser de gran valor en la separación y aislamiento de compuestos cetónicos. En nuestro caso utilizamos para separar la hecogenina (compuesto cetónico) de la tigogenina (compuesto no cetónico).

El método analítico estudiado consiste en la formación de la hidrazone-

con el reactivo  $Hg I_2 - 2KI$ , filtración y cuantos del precipitado por secado y pesada.

El desarrollo químico del método empleado se expresa según las siguientes reacciones.



### Método:

Se pesaron 20 mg. de hecogenina, los que fueron colgados en una bala de 100 c.c., se le agregaron 0.500 g. del reactivo Girard T y 20 ml. de una mezcla ácido acético-alcohol (1 - 10), se calentó a reflujo en baño de vapor 2.5 horas.

Por titulación con suco 1.0 normal, se determinó la cantidad necesaria para la neutralización de 20 ml. de la mezcla ácido acético-alcohol, llegando a un pH entre 4.5 y 7.0.

La cantidad de suco que se empleó fue 28.6 ml. Esta cantidad se introdujo en el último momento en un Erlenmeyer de 250 c.c. que contiene agua destilada a 0°-5°C.

Al final del reflujo, el contenido de la bala se vertió en el Erlenmeyer de la solución alcalina, se le agregó 15 ml. de una solución Hg I<sub>2</sub>-ZKI y 15 ml. de una solución de ácido acético al 10% formándose un precipitado blanquecino brillante, el cual se filtró en un Buchner de peso constante, el lavado final se hizo con agua destilada 0° - 5° C., se secó a una temperatura 80°-100° C. hasta que no hubo variación en el peso.

Cada molécula de hidroxima reacciona con una de Hg I<sub>2</sub>.

### Resultados:

#### Experimento I.-

Peso de la muestra = 0.0200 g. hecogenina.

Peso del precipitado mercurico = 0.0494 g.

(Peso teórico del precipitado mercurico = 0.0495 g.)

Recuperación = 99.5 %

#### Experimento II.-

Peso de la muestra = 0.0200 g. de hecogenina.

Peso del precipitado mercurico = 0.0507 g.

(Peso teórico del precipitado mercurico = 0.0495 g.)

Recuperación = 102.2 %.

Por los resultados obtenidos se puede apreciar que este método da buenos resultados, pero cuando se aplicó a mezclas de hecogenina y tigogenina los resultados fueron muy variados.

En algunas efectuando la reacción de Grimaldi en presencia de la mezcla (hecogenina y tigogenina) se observó un aumento en el peso del precipitado siendo el rendimiento superior del 100 %.

Por ejemplo:

Peso hecogenina = 0.0200 g.

Peso tigogenina = 0.1000 g.

Peso del precipitado metálico = 0.3045 g.

Recuperación = 67 %

Se trató de eliminar la tigogenina presente en el precipitado mediante lavados con varios solventes. En ningún caso se obtuvieron resultados aceptables, ya que el peso final del precipitado después de lavar fue más bajo que el teórico.

### III.-

La técnica de cromatografía en papel filtro fue la misma que se siguió en el estudio de la epoxima de dicogenina.

Para la localización de las sustancias en el chromatograma se desarrollando se utilizaron los reactivos: ácido sulfúrico concentrado y el ácido sulfúrico fumante.

Tanto la hecogenina como la tigogenina dan manchas de color amarillo con el ácido sulfúrico concentrado, y manchas de color café rojizo con el ácido sulfúrico fumante.

Para la cromatografía de esta epoxigenina se utilizaron tanto los procedimientos de cromatografía ascendente como los de cromatografía descendente.

Se emplearon diferentes sistemas de solventes obteniéndose los resultados que se indican en la tabla I y en la tabla II.

TABLA I:

Resultados obtenidos por la cromatografía secundaria.<sup>a</sup>

## Sistema de solventes empleados en el trabajo con formalde.

Sugarcane	Extracto	Benzene		Benzene 50 % Bromo 50 %		Benzene	
		Cantidad cromatografiada.	Posición per reacción en el H <sub>2</sub> SO <sub>4</sub> - formalde.	Cantidad cromatogra- fiada.	Posición per reacción en el H <sub>2</sub> SO <sub>4</sub> - formalde.	Cantidad cromatogra- fiada.	Posición per reacción en el H <sub>2</sub> SO <sub>4</sub> - formalde.
Lecitina	3 mg.	0.0 - 1.0 café rojo intenso.	18.00.01	3 mg.	0.0 - 1.0 café ro- jo inten-	0.02	3ag.
Sugarcane	3 mg.	0.0 - 1.0 café rojo intenso.	17.00.01	3 mg.	0.0 - 1.0 café rojo intenso	0.03	3ag.

<sup>a</sup> Tiempo de desarrollo para cada cromatograma fue 1 h., se cromatografiaron las muestras en cromatogramas de 15 cm. por 20 cm.

TABLA 1:

Resultados obtenidos por la cromatografía descendente.

Sistemas de solventes empleados en mezclas con formalde.

Sapone - Bisab. o Bisab. n	Resina	Benzina	Cromatograma		
			Capacidad absorbente m. en cm. distancia. Benzina.	Capacidad absorbente m. en cm. distancia. Benzina.	Capacidad absorbente m. en cm. distancia. Benzina.
Resorcina; Bisab. o Bisab. n	Resina S.C. Benzina S.C.	Benzina	0.0 - 1.0 cafe rojizo. intenso.	0.0 - 1.0 cafe rojizo. intenso.	0.0 - 1.0 cafe rojizo. intenso.
Resorcina; Bisab. o Bisab. n	Resina S.C. Benzina S.C.	Benzina	0.0 - 1.0 cafe rojizo. intenso.	0.0 - 1.0 cafe rojizo. intenso.	0.0 - 1.0 cafe rojizo. intenso.
Resorcina; Bisab. o Bisab. n	Resina S.C. Benzina S.C.	Benzina	0.0 - 1.0 cafe rojizo. intenso.	0.0 - 1.0 cafe rojizo. intenso.	0.0 - 1.0 cafe rojizo. intenso.
Resorcina; Bisab. o Bisab. n	Resina S.C. Benzina S.C.	Benzina	0.0 - 1.0 cafe rojizo. intenso.	0.0 - 1.0 cafe rojizo. intenso.	0.0 - 1.0 cafe rojizo. intenso.

\* Se aplicó la sustancia en cromatograma  
de 7.0 cm. por 41.0 cm.

En los efectuados con los sistemas de solventes descritos no se llegó a separar estos dos esteroides.

Se hicieron cromatogramas mixtos de hecogenina y tigogenina para comprobar lo anterior. La cromatografía de estas mezclas se llevó a cabo en las columnas descendentes, chromatografiándose 1 mg. en 5 cm. y en el centro del cromatograma 500 de cada esteroide.

El tiempo para su desarrollo fue el necesario para que el solvente llegara al frente del cromatograma tabla III.

TABLA III

Cromatogramas mixtos de las caprogeinas por la cromatografía descendente.

Caprogeinas.									
Sistemas de solventes su- tirados con formanida.	Caprogeina I ac.			Caprogeina 50 % Caprogeina 50 %			Caprogeina I mg.		
	Posición por fracción sec. el $R_2$ 50% humante.	[res- %]	rf.	Posición por fracción sec. el $R_2$ 50% humante.	[res- %]	rf.	Posición por fracción sec. el $R_2$ 50% humante.	[res- %]	rf.
Benceno	0.0 - 1.0 café rojo int.	27.0 cm.	0.01	0.0 - 1. café rojo int.	27.0 cm.	0.01	0.0 - 1.0 café rojo int.	27.0 cm.	0.01
Benceno 50% Benceno 50%	0.0 - 1.0 café rojo int.	27.0 cm.	0.01	0.0 - 1.0 café rojo int.	26.0 cm.	0.01	0.0 - 1.0 café rojo int.	26.0 cm.	0.01
Benceno	0.0 - 1.0 café rojo +/ 1.0 - 23.0 café rojo +/ 23.0 - 27.0 café rojo 5	27.0 cm.	0.01	0.0 - 0.5 café rojo + 2 0.5 - 22.0 café rojo +/ 22.0 - 26.0 café rojo + 6	26.0 cm.	0.01	0.0 - 0.5 café rojo + 2 0.5 - 17.0 café rojo +/ 17.0 - 23.0 café rojo + 5	23.0 cm.	0.02
Cloreformo	24.0 - 28.0 café rojo inten- so.	28.0 cm.	0.87	23.0 - 28.0 café rojo inten- so.	28.0 cm.	0.87	23.0 - 28.0 café rojo inten- so.	28.0 cm.	0.87

Tiempo de desarrollo fus de 1 h., en cromato-  
gramas de 5.0 cm. por 41cm.

Con la cromatografía anterior se comprobó que estas sapogeninas no se pueden separar en los sistemas de solventes empleados.

Se emplearon otros sistemas como el del tolueno, éter de petróleo, etanol, agua y los resultados no fueron satisfactorios (18).

El sistema con el que se obtuvieron resultados positivos fue el ciclohexano-fenil celosolve (mismo éter fenílico del etilen glicol). Este sistema es ideal para las sapogeninas en forma de acetatos (19).

La extracción del ciclohexano con el fenil celosolve se logra en la proporción de un litro de ciclohexano y 50 ml. de fenil celosolve.

La impregnación de los cromatogramas se efectúa con una mezcla al 50% de fenil celosolve: acetona. El mejor desarrollo en este sistema se logra en 12 h. tabla IV.

La acetilación de las sapogeninas se efectúa con anhídrido acético (I:1) al tiempo que矮 la acetilación fue una hora a 70° C. se cristaliza del sistema anhídrido, filtrando finalmente los cristales y lavando con metanol — frío para así eliminar el exceso de anhídrido.

#### Acetato de hecogenina:

P.P. 2 245° - 266° C.

$(\alpha)_D^{25} = +0$  en cloroformo.

#### Acetato de tigogenina:

P.P. 2 198° - 190° C.

$(\alpha)_D^{25} = -60$  en cloroformo

TABLA IV

Cromatograma mixto de los acetatos de hecogenina y  
 tigogenina en el sistema ciclohexano-fenil celosol-  
 vo. Tiempo de desarrollo 12 horas.

Hecogenina	Posición de las sustancias en el chromatograma expre- sa en cm.	Reacción con ácido sulfúrico concentrado.
Acetato de tigogenina 1 mg.	5.0 - 8.7	Amarillo + 3
Acetato de tigogenina 500 µg	5.0 - 7.0	Amarillo + 2
Acetato de hecogenina 500 µg	0.5 - 4.0	Amarillo + 2
Acetato de hecogenina 1 mg.	1.0 - 4.0	Amarillo + 3

Las manchas obtenidas se cluyeron con cloroformo. Alícuotas de las soluciones clorofórmicas se evaporaron a sequedad, y los residuos resultantes fueron tratados con ácido sulfúrico concentrado de la forma descrita (B) para estudio espectrofotométrico. La curva de absorción de estas soluciones fueron determinadas en el Espectrofotómetro de Beckman D.U.

## Resultados cuantitativos:

Sangre humana	Cantidad cromatografiada mc.	Cantidad detectada en suelo.	
		mg.	Recup. %
Hemogenina	1 mc.	0.840	86 %
Hemogenina	1 mc.	0.950	95 %
Hemogenina	500 $\mu$	0.420	84 %
Hemogenina	500 $\mu$	0.485	97 %
Hemogenina	500 $\mu$	0.450	90 %
Hemogenina	500 $\mu$	0.455	91 %
Hemogenina	1 mc.	0.900	90 %
Hemogenina	1 mc.	0.895	89 %

## III.-

Para la obtención de los cromógenos formados al reaccionar las ampolas ya sea en forma libre o como acetato con el ácido sulfúrico concentrado, se efectuó en las mismas condiciones que para la saponificación de diosgenina, - 10 g. 70% per ml. de Ácido sulfúrico concentrado y 1h - 40° C. B.M.

Cada saponificación presenta curva de absorción diferente Fig. V y VI.

Las saponificaciones en forma de acetatos presentan igual curva de absorción que las saponificaciones libres Fig. VII y VIII.

Se hicieron curvas tipo para la hecogenina y tigogenina libre, de cuantos. La técnica que se empleó fue la siguiente.

Se pesaron 50 g. de hecogenina y se aforaron a 50 ml. con cloroformo - (sol. A). Se separaron de esta emulsión 4 Sol. y se aforaron a 50 ml. también - con cloroformo (sol. B).

Se tomaron las siguientes alícuotas de ambas soluciones.

1 ml.	Sol. B =	100 γ
2 ml.	Sol. B =	200 γ
3 ml.	Sol. B =	300 γ
4 ml.	Sol. B =	400 γ
0.5 ml.	Sol. A =	500 γ

Estas alícuotas se pusieron en matrices aforadas de 10 ml. y se evaporaron asequedad y finalmente se llevó al aforo con 10 ml. con Ácido sulfúrico concentrado y se colocaron a baño María una hora 40° C. haciéndose las lecturas en el Espectrofotómetro de Beckman D.U. a 395 $\mu\text{m}$ .

Lecturas obtenidas a 395 $\mu\text{m}$

100 γ	0.119
200 γ	0.671
300 γ	1.020
400 γ	1.345
500 γ	1.670

Las lecturas obtenidas se grafican en la Fig. IX

Se siguió la misma técnica para la sapogenina tigogenina, obteniéndose las siguientes lecturas en el Espectrofotómetro de Beckman D.U. En este caso 715 $\mu$ , por ser el máximo principal de la tigogenina.

Lecturas obtenidas a 715 $\mu$ :

100 $\mu$	0.170
200 $\mu$	0.345
300 $\mu$	0.520
400 $\mu$	0.621
500 $\mu$	0.705

Los resultados se grafican en la Fig. I.

El método de determinación cuantitativa de estas dos sapogeninas mediante espectrofotometría con ácido sulfúrico no se puede aplicar a mezclas de las dos sustancias ya que ambas presentan máximos de absorción muy semejantes en cuanto a longitud de onda diferiendo solamente en sus intensidades relativas.

#### DISCUSIÓN.

El método finalmente adoptado para la determinación cuantitativa de tigogenina y tecogenina en mezclas constó de dos fases:

1) Separación cromatográfica en papel utilizando la técnica descrita como método II.

2) La determinación cuantitativa de las sapogeninas se efectuó mediante espectrofotometría en ácido sulfúrico; sobre aliquotas de las muestras - eluidas de los cromatogramas, usando la técnica descrita como método III.

Se siguió la misma técnica para la sapogenina tigogenina, obteniéndose las siguientes lecturas en el Espectrofotómetro de Beckman D.U. En este caso 115<sub>m</sub>, por ser el máximo principal de la tigogenina.

Lecturas obtenidas a 315<sub>m</sub>

100 μ	0.170
200 μ	0.315
300 μ	0.485
400 μ	0.621
500 μ	0.705

Los resultados se graficaron en la Fig. X

El método de determinación cuantitativa de estas dos sapogeninas mediante espectrofotometría con Ácido sulfúrico no se puede aplicar a mezclas de las dos sustancias ya que ambas presentan máximas de absorción muy semejantes en cuanto a longitud de onda diferiendo solamente en sus intensidades relativas.

#### DISCUSION.

El método finalmente adoptado para la determinación cuantitativa de tigogenina y neogenina en mezclas constó de dos fases:

1) Separación cromatográfica en papel utilizando la técnica descrita como método II.

2) La determinación cuantitativa de las sapogeninas se efectuó mediante espectrofotometría en ácido sulfúrico; sobre aliquotas de las muestras - eluidas de los chromatogramas, usando la técnica descrita como método III.

Diseñada Optica

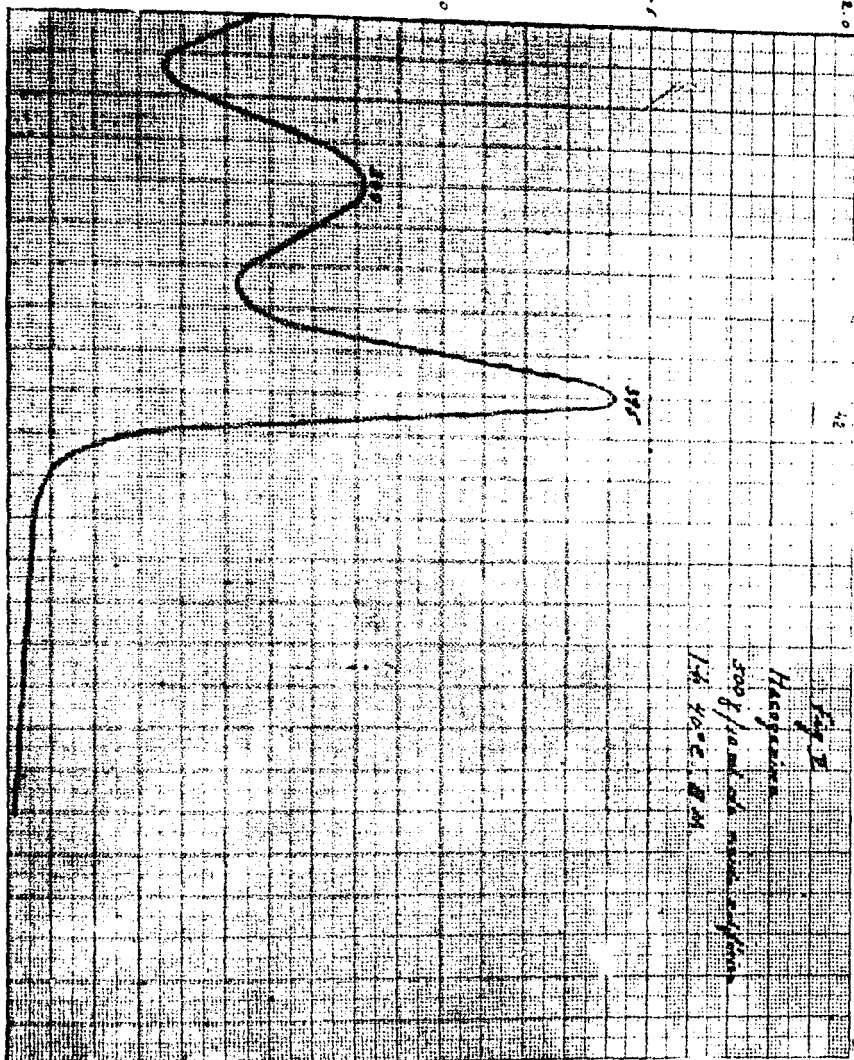
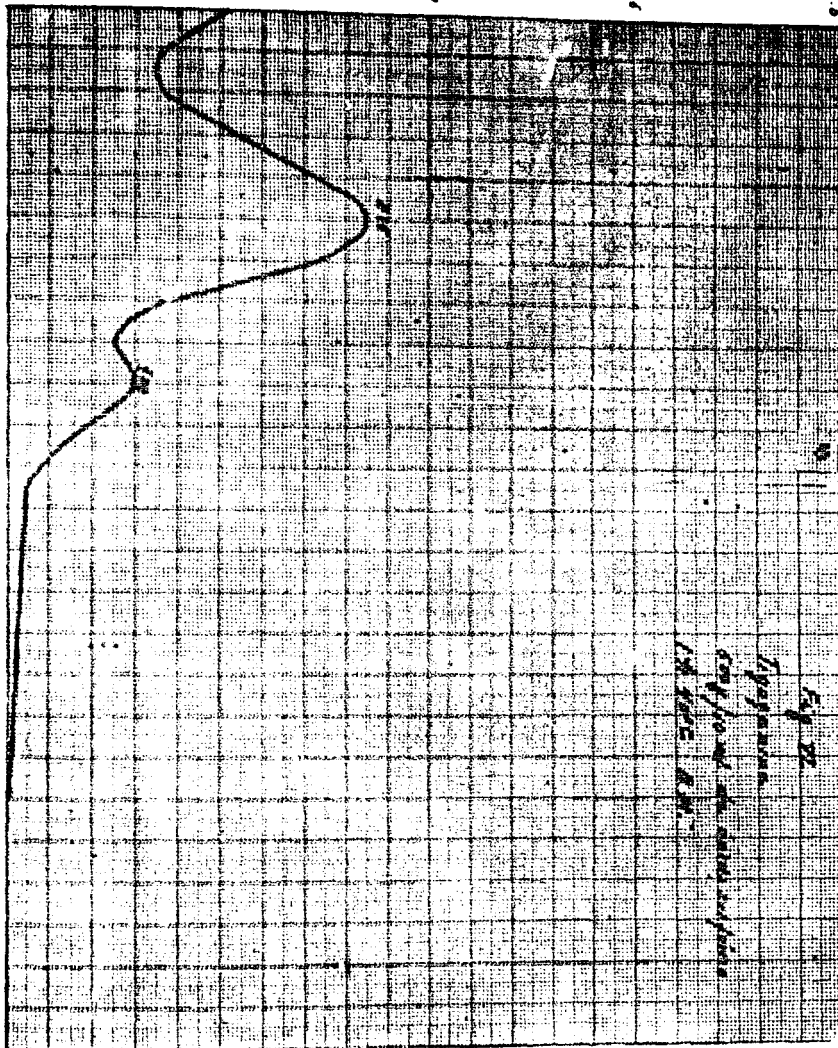
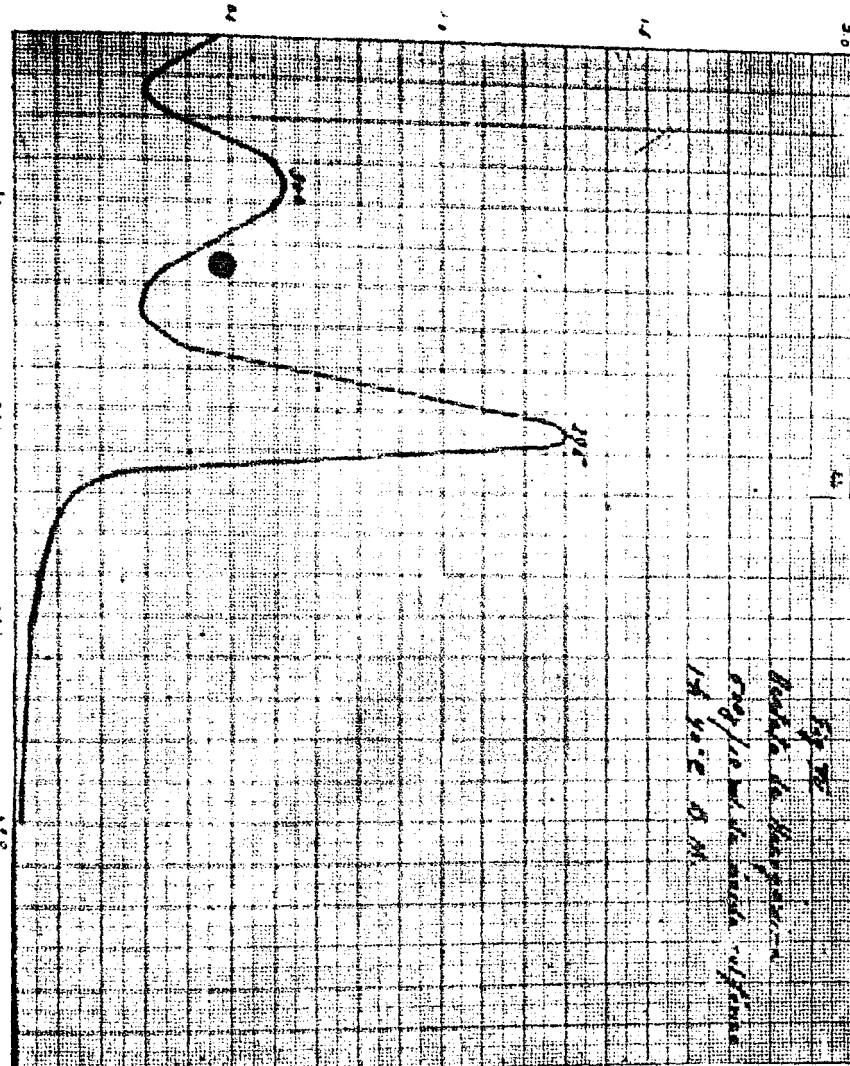


Diagrama de onda



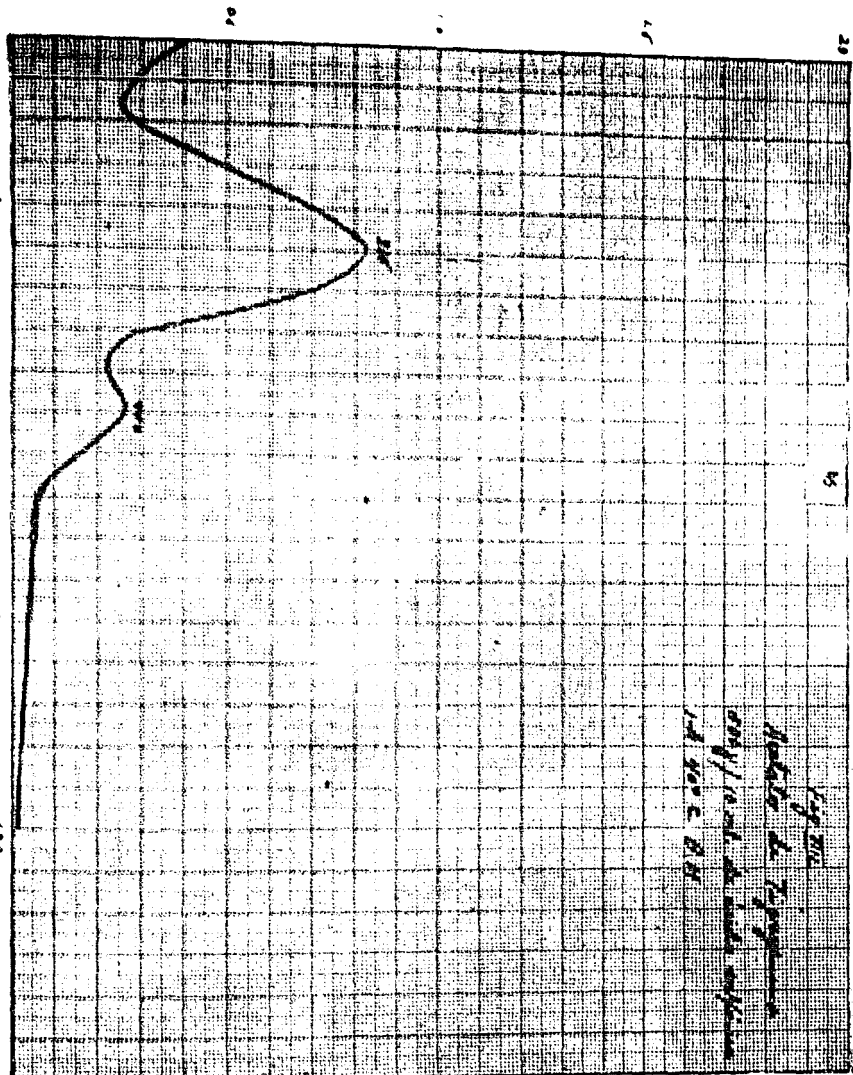
Demand Optics

England at once



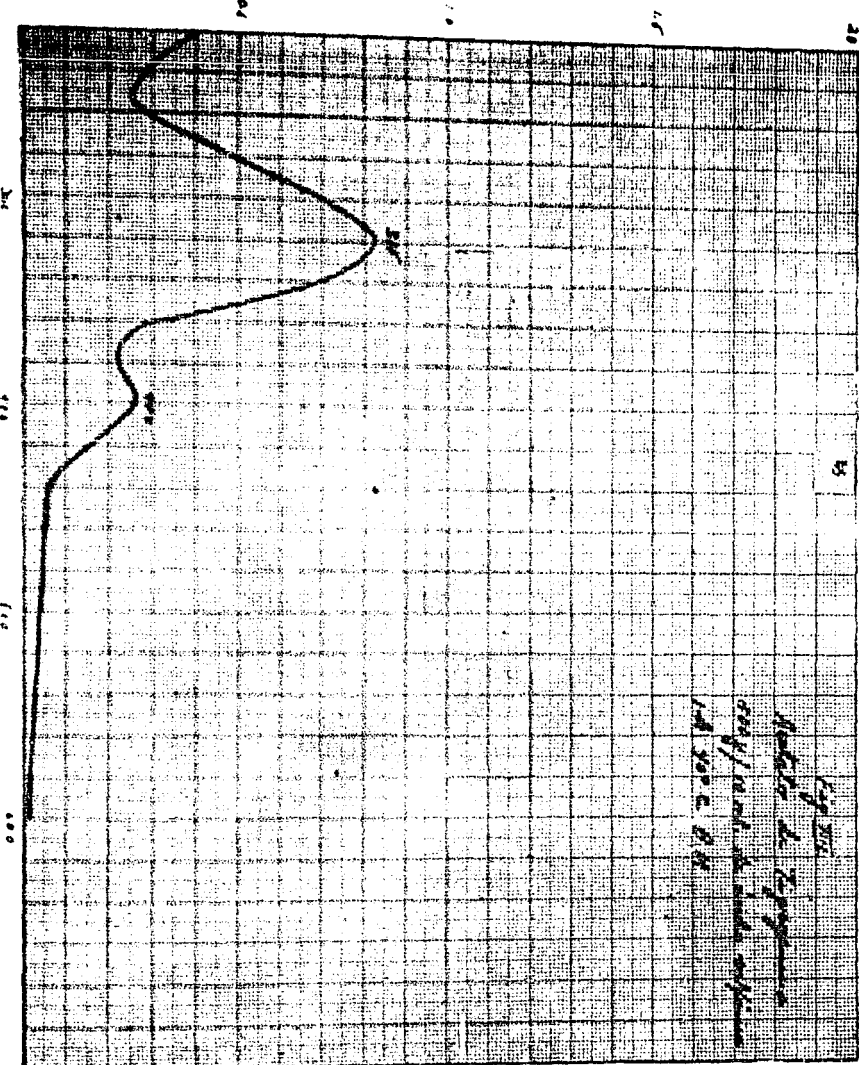
Densidad Optima

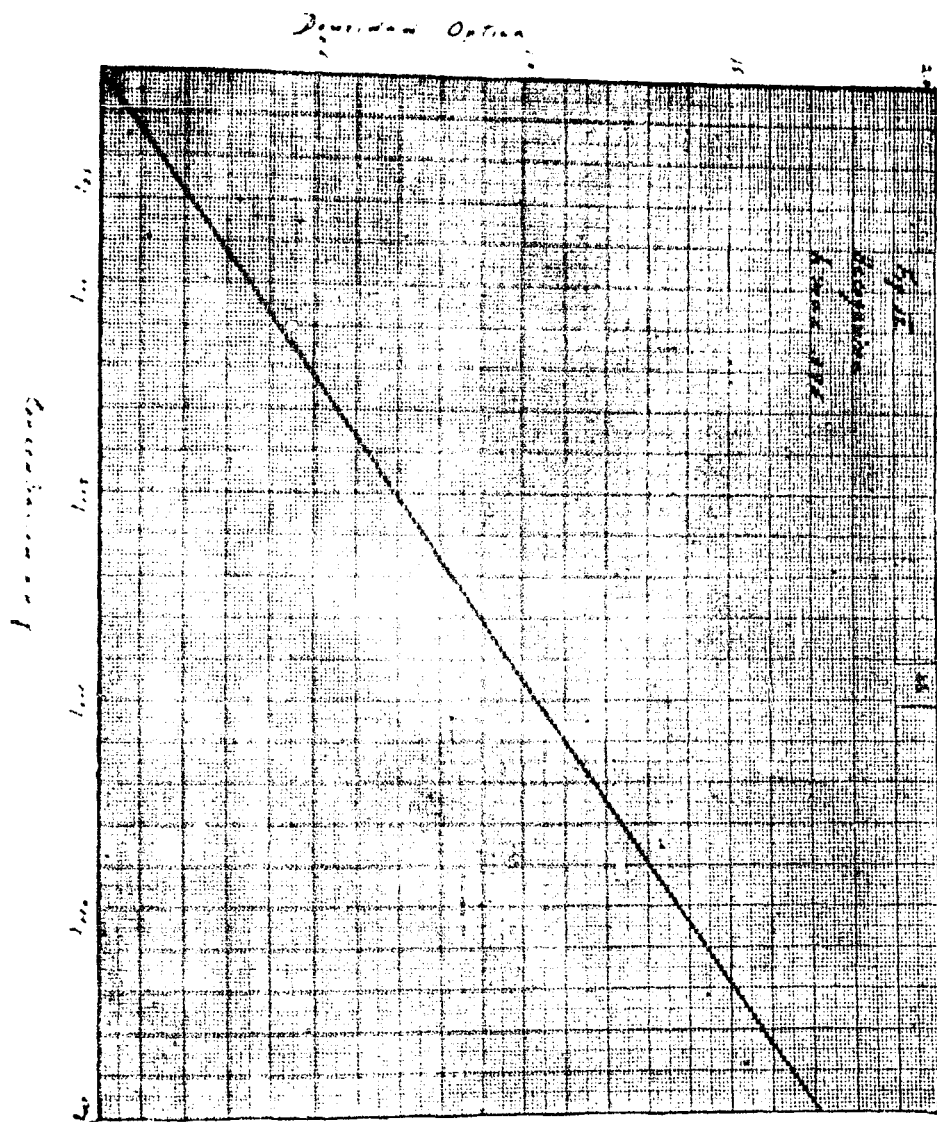
Largo de onda



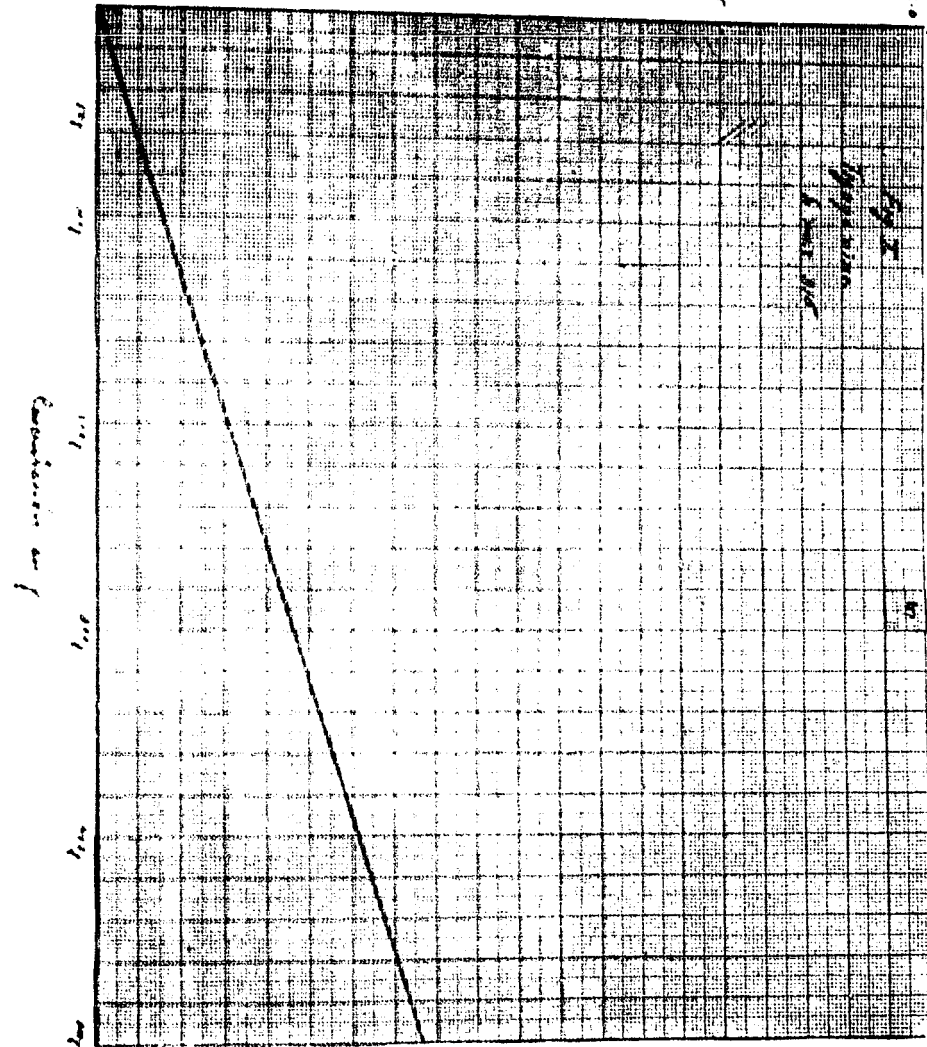
Demand Optima

Time or working





Dosidad Optima



**CONCLUSIONS.**

I.-

El método de la cromatografía en papel fue aplicado al estudio de saponinas ( saponina de diogenina ) y sapogeninas ( hecogenina y tigogenina ) obteniéndose resultados satisfactorios.

II.-

Se logró el cuantico de la saponina y las sapogeninas por formación del cromógeno obtenido al reaccionar con el ácido sulfúrico concentrado.

III.-

No se logró resultados satisfactorios el aislar Hecogenina de Tigogenina, por medio del reactivo Girard.

**BIBLIOGRAPHIA.**

- 1).- Buchlos Katechismus d. Apothekerkunst Erfurt 1810 - 765.
- 2).- Casiano Conzatti " Flora Taxonómica Mexicana " Tomo II (1947) Talle. Graf. de la Enc.
- 3).- Girald - Rojahn " Productos Químicos y Farmacéuticos " Tomo III 1695 (1946).
- 4).- Hench, P.S., Kendall E. C., Slocumb, C.H. y Polley, H.F. Proc. Staff. meeting Mayo Clinic, 24, 181-197 (1949).
- 5).- Carl Djermassi, H. Martines, y O. Rosenkrantz. The Journal of Organic Chemistry. Parte I vol 16 (1951).
- 6).- Carl Djermassi, H. Martines, y O. Rosenkrantz. The Journal of Organic Chemistry. Parte II vol 16 (1951).
- 7).- Carl Djermassi, Ringold, O. Rosenkrantz. The Journal of American Chemical Society Parte III vol 73 IV págs. 5513 (1951).
- 8).- A. Zaffaroni Journal of American Chemical Society vol 72 II 3928 (1950).
- 9).- Marker R. N.E. Am. Chem. Soc. 62, 2525 (1940).
- 10).- Marker Russell; Turner Ullshaefer J. Am. Chem. Soc. Vol. 62, 2542 (1940).
- 11).- Marker y Krueger J. Am. Chem. Soc. Vol. 62-2548 (1940).
- 12).- Marker y Krueger J. Am. Chem. Soc. Vol. 62-3349 (1940).
- 13).- Liebermann, Chang, Borusch y Noller J. Am. Chem. Soc. Vol. 64, 2581 (1940).
- 14).- A. Zaffaroni, Robert. B. Burton y E. Henry Keutmann. The Journal of Biological Chemistry Vol. 177 N° 1 Enero (1949).
- 15).- A. Zaffaroni Burton E. Henry Keutmann J. Biolog. Chem. Vol. 198 N° 2 (1951).
- 16).- Girard and Sandulesco, Brit. Pat. Appl. 6640 March (1934).
- 17).- Girard y Sandulesco, Helv. Chim. Acta, 19, 1095 (1936).
- 18).- Erich Hoffmann and Alma Levant Haydent The Journal of Biological Chemistry Vol. 197 págs. 47 Julio (1953). N°I.
- 19).- Neher, R. y Wettstein, A. Helv. Chim. Acta 35, 276 (1952).